

О1

© 1992

ВОЗНИКНОВЕНИЕ УСТОЙЧИВЫХ СОСТОЯНИЙ
В НЕЛИНЕЙНОЙ ДИНАМИЧЕСКОЙ СИСТЕМЕ,
ФОРМИРУЮЩЕЙСЯ В СТОХАСТИЧЕСКОЙ СРЕДЕ

О.И. Горский, В.А. Дзензерский,
В.О. Куленинко

Известно, что нелинейные системы, действующие в стохастической среде могут проявлять разнообразные свойства в своем поведении. К таким свойствам можно отнести: усреднение динамических переменных или нечувствительность к флуктуациям среды, появление стохастического аналога бифуркации [1], появление стабилизирующей стохастической силы [2], индуцированные шумом переходы [3]. При рассмотрении поведения динамической системы интересуются набором устойчивых состояний, запрещенных в детерминированных условиях. Стохастическая среда, таким образом, играет роль стабилизирующего или дестабилизирующего фактора определяющего вероятностную меру поведения динамической системы.

Представляет интерес проследить в стохастической среде эволюцию динамической системы, которая обладала бы спектром устойчивых состояний (временных, пространственных или структурных), не приводимых к вероятностной мере. В качестве такой динамической системы рассматривается модель ветрогенератора (рис. 1). На контуре 1 (двуихпроводная линия) расположены роторы 2 в виде вертушек с постоянными магнитами на лопастях. Количество роторов на единицу длины n . Направление вращения роторов одностороннее. Индукция магнитного поля постоянных магнитов $B = \text{const}$, площадь постоянного магнита S . Уравнение потокосцепления в электрическом контуре 1 имеет вид

$$\frac{d}{dt} \left(iL + \sum_{k=1} BS \cos \phi_k \right) + iR = 0, \quad (1)$$

где R – погонное сопротивление контура; L – погонная индуктивность контура; ϕ_k – аксиальный угол вращения k -го ротора. На вращающийся k -й ротор действует сила ветра $\zeta_k |\sin \phi_k|$ и тормозящая сила Ампера. Уравнение движения k -го контура имеет вид

$$I \frac{d^2 \phi_k}{dt^2} = R_o \zeta_k |\sin \phi_k| - iB \alpha k_o, \quad (2)$$

где R_o – радиус размаха лопасти ротора; α – размер постоянного магнита вдоль контура 1; I – момент инерции ротора относительно

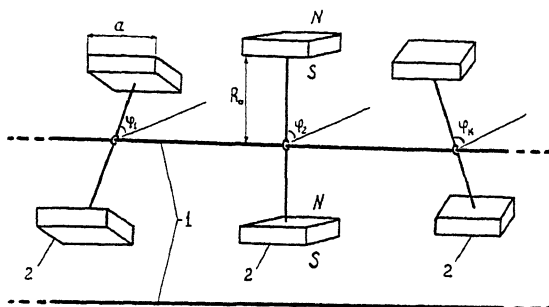


Рис. 1. Схема расчетной динамической модели ветрогенератора.

оси вращения. Начальные условия имеют вид

$$i_{t=0} = 0; \quad \phi_{k,t=0} = \varepsilon_k \frac{d\phi_k}{dt} \Big|_{t=0} = 0,$$

где ε_k – случайная фаза в промежутке $(0 - 2\pi)$.

Сила ветра ζ_k , действующая на k -й ротор, выбиралась в виде функции типа белого шума. При этом предполагалась некоррелированность силы ветра, действующей на k -й ротор $\langle \zeta_i(t) \zeta_j(t+At) \rangle = D\delta_{ij}\delta(At)$. Односторонность направления вращения роторов задавалась условиями

$$\sin \phi_k > iB\alpha/\varepsilon_k, \quad k = 1, 2 \dots n. \quad (3)$$

Нерегулярность силы ветра моделировалась случайным числом ζ_k через промежутки времени, равные 0.001 с, с интенсивностью, не превосходящей F_0 . Выбор F_0 был обусловлен, стремлением выйти из области хаотических колебаний тока. Расчет и статистическая выборка производилась при следующих параметрах: $d = 0.2$ м, $\alpha = -0.02$ м, $M_0 = 4\pi \cdot 10^{-7}$ гн/м, $B = M_0 H$, $H = 8 \cdot 10^4$ а/м, $R_0 = 0.1$ м, $S = 10^{-4}$ м², масса ротора 0.1 кг, $L = M_0/r$ ($\ln(d/r_0) + 0.25$), $r_0 = 0.004$ м. В результате испытаний были установлены следующие закономерности.

1. Существует область изменения случайной силы ζ_k с порогом $F_0(n)$, при которой в идеально проводящем контуре устанавливается стационарный ток (рис. 2, а).

2. В отличие от детерминированной системе ($\zeta_k = \text{const}$, $k = 1, 2 \dots n$) переход в стационарное токовое состояние происходит через точку ветвления бифуркационного типа (рис. 2, б). В этой точке могут реализоваться следующие токовые режимы: стационарный ток непредсказуемой величины; квазистационарный ток непредсказуемой величины с малым ($\sim 10^{-4}i$) затуханием или нарастанием в течение большого периода (> 300 с). При $\zeta_k = \text{const}$ стационарное значение тока определяется условиями (3) и выражением

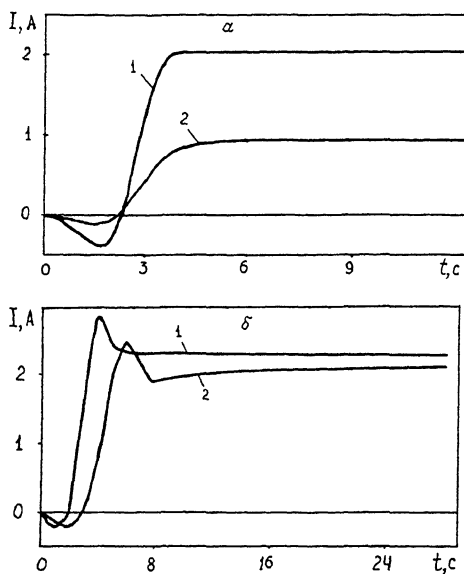


Рис. 2. а) Установление стационарного тока в проводящем контуре с $R=0$ при $F_0=0.4$ н, $n=5$ (кривая 1) и $F_0=0.4$ н, $n=2$ (кривая 2). б) Квазистационарный токовый режим при $F_0=1.5$ н, $n=5$ с затуханием тока (кривая 1) и с нарастанием тока (кривая 2).

$$i = \frac{BS}{L} \sum (\cos \phi_k - \cos \varepsilon_k), \quad \Phi_k = \text{const}, \quad k = 1, 2 \dots n. \quad (4)$$

В стохастической среде условия (3) могут быть нарушены в любой момент времени, если только стационарный ток не установился для максимально возможного значения ξ_k , равного F_0 , что маловероятно. Следовательно, стационарное значение тока устанавливается для конкретных реализаций Φ_k и величина этого тока такова, что обеспечивает выполнение условий (3). Однако одновременная или близкая по времени реализация больших ξ_k для нескольких роторов приводит к частичному нарушению условий (3), что изменяет ток, индуцируемый в контуре. Это изменение тока обоих знаков и наблюдается в расчетах. Увеличение числа роторов уменьшает время перехода к стационарному или квазистационарному состоянию (рис. 2, а), но не влияет на характер изменения тока вблизи равновесного положения. При заданной интенсивности F_0 увеличение числа роторов переводит динамическую систему из области хаотических в область устойчивых стационарных или квазистационарных состояний, независящих от случайного выбора начальных фаз ε_k . Величина тока при этом непредсказуема.

С п и с о к л и т е р а т у р ы

- 1] Николис Г., Пригожин И. Познание сложного. М. Мир, 1990. 342 с.
- 2] Логинов В.М. // Письма в ЖТФ. 1991. Т. 17. В. 7. С. 74-78.
- 3] Хоротхемке В., Левеев Р. Индуцированные шумом переходы. М.: Мир, 1987. 397 с.

Поступило в Редакцию
26 февраля 1992 г.